

# بررسی اتصالات خورجینی صلب با نبشی پیرامونی در مقایسه

## با اتصالات خورجینی صلب پیشنهادی آین نامه

محمد فروغی<sup>i</sup>، محمد علی برخورداری<sup>ii</sup>

چکیده

اتصالات خورجینی به عنوان اتصالات رایج در ایران، از عملکرد مناسبی در مقابل بارهای ناشی از زلزله برخوردار نیستند. به همین دلیل در دو دهه اخیر کارهای تحقیقاتی زیادی برای شناخت و بهبود عملکرد آن‌ها صورت گرفته است. این مقاله، جزئیات پیشنهادی جدیدی با عنوان "اتصالات خورجینی صلب با نبشی پیرامونی" را ارائه می‌کند. در تحقیق حاضر؛ که اساساً به صورت تحلیلی و به روش اجزای محدود و با استفاده از نرم افزار "ANSYS 8.0" صورت پذیرفته است، سه نمونه از این نوع اتصال، با ملاحظه کردن رفتار غیر خطی مصالح و نیز هندسی، تحت بار چرخه‌ای، مطالعه شده است. نتایج، حاکی از عملکرد مطلوب و شکل پذیر اتصال است.

### کلمات کلیدی

اتصالات خورجینی، نبشی پیرامونی، اتصالات صلب، قیچی سان، قیچی، رکابی، خورجینی، خرجینی

### *Rigid Khorjini Connections With Peripheral Angle and Comparison With the Proposed Rigid Khorjini Connections Code*

M. Foroughi, M.A. Barkhordari

#### ABSTRACT

Khorjini connections as the common connections in Iran have not a desirable behavior against earthquake loads. Consequently, several researches have been conducted during two recent decades in Iran, to evaluate the behavior of these connections and expand their performance. This paper, introduces a new proposed detail as "Khorjini Connections with Peripheral Angles". In the current research, numerical analysis has been conducted using Ansys 8.0 Finite Element Code. Three kinds of these connections have been studied with non-linear behavior material as well as non-linear geometry, under cyclic loads. According to the results, these connections have a desirable behavior and adequate ductility.

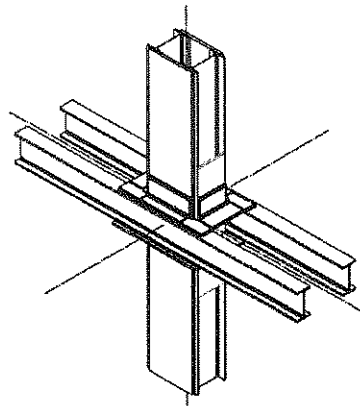
#### KEY WORDS

khorjini connections, peripheral angle, rigid connections, scissors, saddle like connection, khorjini

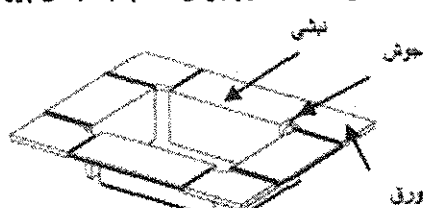
<sup>i</sup>اعضو هیأت علمی دانشگاه یزد، تلفن: ۰۳۵۱-۸۲۱۲۲۳۱، نمایش: ۰۲۰-۸۲۱۲۲۳۰، پست الکترونیکی: foroughi\_mohammad@yahoo.com

<sup>ii</sup>دانشیار دانشگاه علم و صنعت ایران، تلفن: ۰۲۱-۷۷۴۰۰۲۹۶-۰۱۱، نمایش: ۰۲۹۸-۷۷۴۰۰۲۹۶، پست الکترونیکی: barkhordar@iust.ac.ir

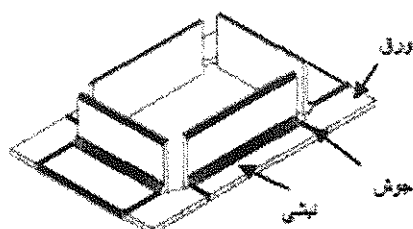
در این اتصال، قطعات نبشی عمود بر تیر نقش تسمه‌های رابط را در اتصال ایفا کرده، صلبیت اتصال را در جهت چرخش تیر تأمین می‌کند.



شکل(۱): شماتیک اتصال خورجینی صلب با نبشی پیرامونی



(الف) نبشی پیرامونی نشیمن



(ب) نبشی پیرامونی فوقانی

شکل(۲): نبشهای پیرامونی نشیمن و فوقانی

لزوم وجودی این تسمه‌ها برای پایداری اتصال، حتی در مقابله با بارهای ثقلی، به اثبات رسیده است [۱][۲][۶]. شکل (۲) وضعیت نبشهای نشیمن و جوش آن‌ها به ستون را در اتصالات خورجینی بدون تسمه‌های رابط نشان می‌دهد. همچنان که در این شکل می‌بینیم در صورت عدم وجود این تسمه‌ها و ایجاد تعادل نسبی بین تیرهای طرفین، اتصال در مقابل لنگر پیچشی ناشی از خروج از مرکزیت تیرها نسبت به بر اتصال دچار مشکل جدی خواهد شد.

جوش‌های افقی نبشهای به تیر، تأمین کننده اصلی مقاومت اتصال در برابر کوپل نیروی ناشی از لنگر تیر در اتصال و نیز مقابله با لنگر ناشی از خروج از مرکزیت تیر نسبت به بر اتصال بوده و جوش‌های افقی این نبشهای به ستون، انتقال این نیروها به ستون را به عهده دارند.

حسن اصلی اتصالات خورجینی، سهولت اجرایی آن برای اسکلت کاران داخلی است و می‌توان آن را به عنوان یک اصل در تحقیق بر روی این اتصالات دانست؛ بنابراین به اعتقاد نگارندگان ارائه هرگونه جزئیات اجرایی با هدف بهبود رفتار این اتصالات، به شرطی مقبول است که به این اصل اساسی؛ یعنی سهولت اجرایی اتصال، خدشهای وارد نیاید. ایده اتصالات خورجینی صلب؛ که در ابتدا فروغی مطرح کرد [۱] و جزئیات اجرایی که بعداً ارائه و تحقیق کرده است [۲]، با در نظر داشتن این اصل بوده است. خوشبختانه اخیراً؛ که پیش نویس ضوابط طراحی و اجرای ساختمان‌های با اتصال خورجینی [۳] در سطح محدود منتشر شده است، اتصالات خورجینی، دسته‌بندی شده و جزئیاتی برای اتصالات خورجینی با عملکرد مفصل قیچی سان و جزئیات دیگری برای عملکرد صلب ارائه شده است که بحث ما در این مقاله، فقط جزئیات داده شده با رفتار صلب را پوشش می‌دهد.

بررسی‌های اخیر [۴] نشان می‌دهد اتصالات خورجینی صلب نوع اول و دوم پیش نویس [۲] از نظر اجرایی، مشکلاتی را در بر دارد و خصوصاً اجرای نوع دوم بسیار مشکل‌تر از اتصال صلب استاندارد و تقریباً غیر قابل اجراست. این موضوع، مشروحاً به جامعه علمی ارائه شده است [۵]؛ بنابراین نگارندگان جزئیات جدیدی را تحت عنوان «اتصال خورجینی صلب با نبشهای پیرامونی» ارائه داده‌اند [۴] که از سهولت نسبی اجرایی خوبی برخوردار است و اجرای آن، نه تنها از اجرای جزئیات ارائه شده در پیش نویس [۲]، بلکه از برخورداری از طول برش و جوش کمتر، مجموعاً هزینه‌های کمتری را در برخواهد داشت.

## ۲- معرفی اتصال خورجینی صلب با نبشهای پیرامونی

شکل (۱) شماتیک اتصال خورجینی صلب با نبشهای پیرامونی را نشان می‌دهد. همان‌گونه که می‌بینیم این اتصال از دو مجموعه، یکی نبشهای نشیمن پیرامونی و دیگری نبشهای فوقانی پیرامونی تشکیل شده است. همچنان که در شکل (۲) مشخص است هر یک از این دو مجموعه، از ۴ نبشهای تشکیل شده است که ساق‌های قائم آن‌ها، به نحو مطلوبی برش داده شده و به ستون جوش شده است و در ۴ گوش ساق افقی آن-ها، ۴ ورق قرار گرفته و به یکدیگر جوش شده، یک صفحه تخت پیرامونی را برای نشیمن تیر و یا قرار گرفتن بر روی تیر تعییه کرده‌اند. مواضع جوش در شکل (۱) به خوبی نشان داده

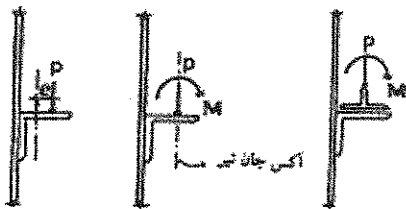
عناصر در ضخامت و هر یک از ابعاد جوش، حداقل به ۲ قسمت تقسیم شده و به تنشیات ابعادی در مدل توجه کافی مبدل گشته است.

در مدل سازی نمونه‌ها، در حد امکان، شرایط آزمایشگاهی، به دقت مدل شدند و با توجه به تقارن مستقیم نمونه‌ها، فقط نصف آن‌ها با اعمال شرایط تقارن (Symmetry) مدل شد. نتیجه مقایسه منحنی پوش لنگر-دوران یکی از نمونه‌های مورد بررسی "F7" تحت شرایط آزمایشگاهی [۷] و تحلیل اجزای محدود "F7-m9(NEW3)" [۴] در شکل (۴) نشان داده شده است. همچنان که می‌بینیم منحنی‌ها، مطابقت مطلوبی را بین نتایج نشان می‌دهد؛ بنابراین با قبول نحوه مدل سازی پیشنهادی، اتصالات پیشنهادی مورد نظر را بررسی کردہ‌ایم.

**۲-۳- مدل سازی اتصال مورد نظر؛ یعنی نبشی پیرامونی**  
برای امکان مقایسه بین عملکرد انواع اتصال، کلیه شرایط اعم از مقاطع تیر، ستون و طول آن‌ها و نیز شرایط تکیه گاهی، همچنین روند بارگذاری، اعم از محوری و سیکلی را به صورت یکسان با شرایط مدل‌های آزمایشگاهی مورد مقایسه؛ یعنی (F7 و F10) [۷] که به ترتیب همان اتصالات صلب نوع اول و دوم پیش‌نویس [۳] می‌باشند، منظور کردیم و چون توان تحمل بار در اتصال، بیش از اتصالات مورد مقایسه بود، بار گذاری سیکلی را با روند قبلی، ادامه دادیم. بار کل محوری اعمالی به ستون ۱۰ تن و بار سیکلی اعمالی مطابق شکل (۵) است.

شکل (۶)، شبکه پندی اجزای محدود نمونه «M1» را در محدوده اتصال نشان می‌دهد. در این نمونه تعداد عناصر محدود SOLID45، ۲۱۳۴۰ و تعداد درجات آزادی، ۱۸۸۸۹۱ و مدت زمان مدل سازی و تحلیل کامل اتصال، حدود ۳ ماه تمام وقت بوده است. شکل (۷) منحنی‌های هم شدت تنش وان میسز را در محدوده اتصال در نمونه نشان می‌دهد. شکل (۸) منحنی‌های چرخه‌ای لنگر - دوران اتصال و شکل (۹) منحنی‌های پوش لنگر - دوران اتصال نمونه پیشنهادی «M1» را در مقایسه با نمونه‌های F7 و F10 به عنوان اتصالات صلب نوع اول و دوم پیش‌نویس [۳] نشان می‌دهد. با بررسی این منحنی‌ها، نتایج زیر قابل استخراج است:

- وضعیت توزیع تنش در اتصال از نوع نبشی پیرامونی (نمونه M1)، روی هم رفته مناسب است و قبل از انهدام اتصال، بال تیر در مجاورت اتصال به حالت جاری شدن می‌رسد. چرخه‌های لنگر - دوران اتصال پایدار است و بدون کاهش سختی تا زمان انهدام ادامه یافته است و اتصال از خاصیت جذب انرژی و شکل پذیری مطلوبی برخوردار است.



شکل (۳): ایجاد لنگر ناشی از خروج از مرکزیت تیر نسبت به برستون در اتصالات خورجینی مرسوم

در گزینه‌ای جایگزین، به جای استفاده از ورق در ۴ گوشه نبشی‌های پیرامونی ساق‌های افقی نبشی‌ها فارسی برشده، به یکدیگر جوش می‌شوند و نبشی پیرامونی را تشکیل می‌دهند. جوش‌های قائم نبشی‌ها به ستون، عمدتاً عهد دار انتقال نیروی عکس العمل تکیه گاهی تیر به ستون می‌باشد. بدینه‌ی است در عمل، هر یک از این جوش‌ها، نقشی ترکیبی خواهد داشت که این واقعیت در تمامی اتصالات استاندارد، کمابیش صدق می‌کند.

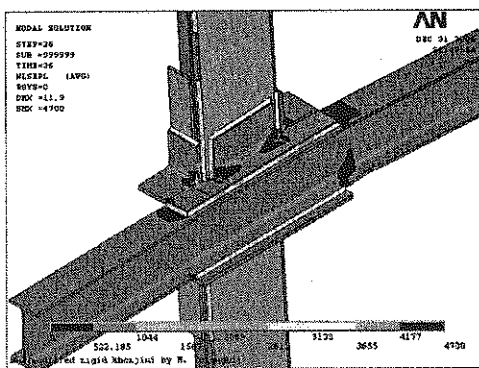
### ۳- بررسی رفتار اتصال

با توجه به مشکلات جدی مطالعات آزمایشگاهی درکشور و کمبود شدید امکانات، روش تحقیق در این پژوهش [۴] مدل سازی نمونه با استفاده از روش اجزای محدود و با منظور کردن رفتار غیرخطی مادی و هندسی بوده و از نرم افزار Ansys، عمدتاً ویرایش‌های 8.0 و 10.0 استفاده شده است.

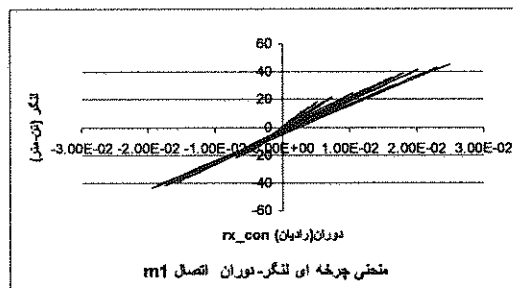
#### ۳-۱- انتخاب مدل اجزای محدود

برای انتخاب مدل سازی مناسب، اولاً از مدل سازی مسائل ساده؛ که حل آن‌ها به راحتی امکان پذیر است، و مقایسه نتایج استفاده شد و در درجه بعدی کار آزمایشگاهی مزروعی و همکاران [۷] مدل سازی سپس نتایج مقایسه شد. درگزینه انتخابی، برای مدل سازی کلیه قطعات اتصال اعم از اعضاي اتصال، تیر و ستون و نیز جوش‌ها از عناصر محدود استفاده شده است. برای مدل سازی تماس، از عناصر جوش به عناصر مجاور، در موارد لزوم، از دستورهای merge و یا coupled به نحو مناسب استفاده شده است. ذکر این نکته لازم است که در مدل‌های دیگر، از عناصر SOLID95، SHELL181، SHELL63، TARG170، CONTA173 و نیز تاماسی صفحه به صفحه CONTA52 استفاده شده است. در نهایت می‌توان گفت مدل فوق الذکر مطلوب‌ترین رفتار را نشان داده است.

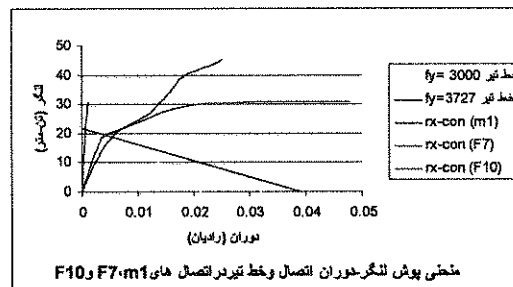
برای امکان مدل سازی چرخش‌ها در ضخامت عناصر ورقی، شامل ساق نبشی‌ها و بال و جان تیر و ستون، این



شکل(۷): منحنی های هم شدت تنش و ان میسز در محدوده اتصال M1 نمونه



شکل(۸): منحنی های چرخه ای لنگر-دوران اتصال نمونه M1

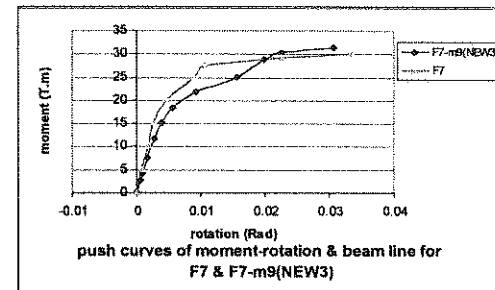


شکل(۹): منحنی پوش لنگر-دوران نمونه M1 در مقایسه با نمونه های F7 و F10

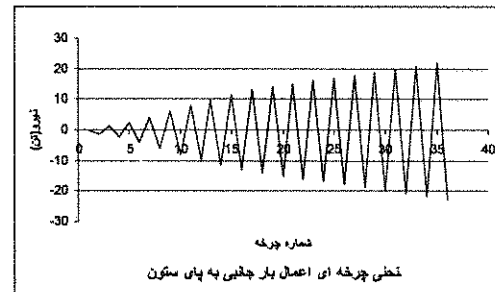
- در بررسی دقیق تر بر روی رفتار اتصال، به این نتیجه می رسیم که به دلیل خیلی کوتاه و غیر واقعی بودن طول تیر و ستون، در این نمونه و نیز نمونه های F7 و F10 [۷] اتصالات این نمونه ها در معرض برش بیش از حد و غیر واقعی است که به نظر می رسد در شرایط واقعی، رفتار مطلوب تری داشته باشند. این نتیجه گیری، قبل از نیز برای نمونه های F7 و F10 شده بود [۷]. بنابراین، نمونه های M3 و سپس M4 را برای اتصال از نوع نیشی پیرامونی، طراحی و با روند تأیید شده فوق، به مدل سازی و تحلیل اجزای محدود آن پرداخته، بار دیگر رفتار اتصال را بررسی می کنیم.

### ۳-۳- معرفی اتصال پیرامونی نمونه M3 و M4 و مدل سازی نمونه ها

سیستم کلی اتصال، همان است که در مدل M1 معرفی و

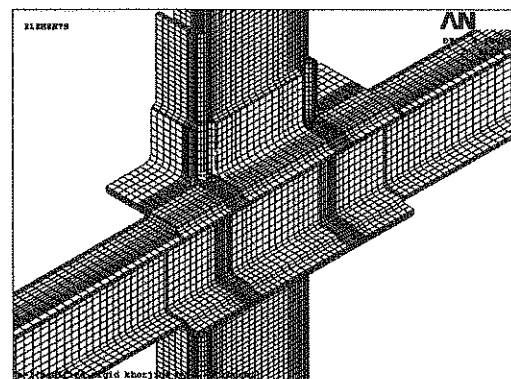


شکل (۱۰): نمودار مقایسه ای لنگر-دوران نمونه (آزمایشگاهی و تحلیلی)



شکل(۵): منحنی چرخه ای اعمال بار جانبی به پای ستون

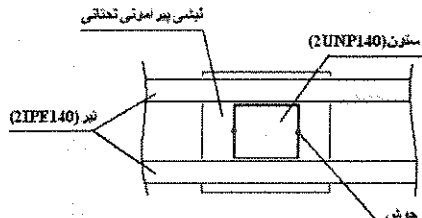
- اتصال از نوع نیشی پیرامونی «M1» با صلابت حدود ۹۰٪ در رده اتصالات صلب قرار دارد و از نظر صلابت با اتصال نوع یک پیش نویس [۲] تقریباً برابر می کند؛ ولی اتصال نوع دوم پیش نویس [۳] با حدود ۹۹٪ صلابت، از صلابت به مرتبه بالاتری برخوردار است.



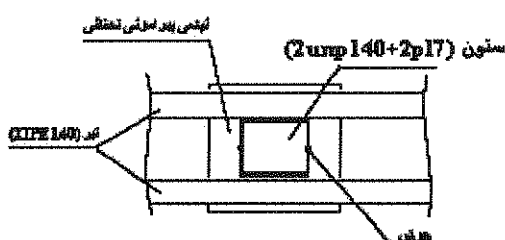
شکل (۶): شبکه بندی اجزای محدود نمونه M1 در محدوده اتصال این اتصال (نمونه M1) با سختی اولیه ۳۷۶۶ تن- متر بر رادیان، از اتصال نوع اول با سختی اولیه ۵۶۲۲ تن- متر بر رادیان، تا حدودی نرم تر و از اتصال نوع دوم با سختی اولیه ۲۰۶۲۵ تن- متر بر رادیان، خیلی نرم تر است.

- این اتصال (نمونه M1)، چرخه های بارگذاری و باربرداری بیشتری را نسبت به اتصالات نوع اول و دوم، تقبل کرده و در نهایت از توانایی تحمل لنگر بالاتری برخوردار بوده است.

بارگذاری باید تا جایی که نمونه مقاومت می‌کند، ادامه باید تا تغییر مکان‌های  $\Delta = 5 \Delta y$ ،  $\Delta = 6 \Delta y$ ،  $\Delta = 7 \Delta y$  و ... ایجاد شود که هریک از تغییر مکان‌ها بایستی در دو چرخه تکرار شود.

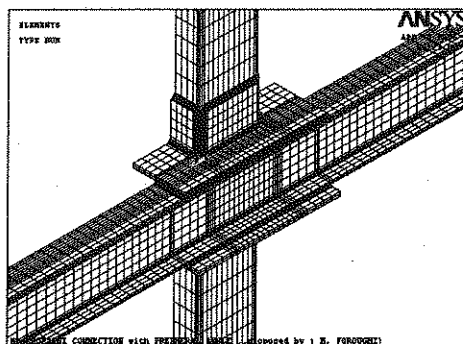


(الف) شکل شماتیک نمونه M3



(ب) شکل شماتیک نمونه M4

شکل (۱۱): شکل شماتیک نمونه‌های M3 و M4



شکل (۱۲): نمای شبکه بندی اجزای محدود نمونه‌های M3 و M4 در محدوده اتصال

برای دستیابی به تخمینی مطلوب از  $\Delta y$ ، ابتدا مقدار دلخواهی بار در محدوده رفتار خطی اتصال به آن وارد می‌شود (بارگذاری در انتهای پایینی ستون و در راستای موازی محور تیر انجام می‌گیرد)، میزان جابجایی این موضع، یعنی لبه انتهای پایینی ستون و نیز نتش بیشینه ایجاد شده در عناصر تیر را از نتایج تحلیل استخراج می‌کنیم. سپس با یک تناسب ساده به شرح زیر  $\Delta y$  را استخراج می‌کنیم:

$$\frac{\Delta y}{\Delta} = \frac{f_y}{\sigma} \rightarrow \Delta y = \Delta * \frac{f_y}{\sigma} \quad (1)$$

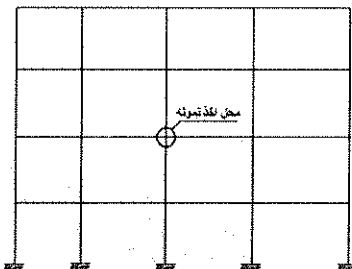
با به دست آمدن  $\Delta y$ ، انجام مراحل ششگانه بارگذاری جانبی به شرح فوق، به سادگی میسر خواهد بود. شکل (۱۳) نمودار

بحث شد؛ اما این بار، او لاً برای واقعی تر شدن شرایط اتصال و ثانیاً پرهیز از کاربرد ورق تقویت در مقطع ستون، برای انتخاب نمونه، به شرح زیر عمل شد:

الف - مدل سازه‌ای ۴ طبقه و ۴ دهنه با ارتفاع طبقات  $1/6$  متر و طول دهانه‌های  $2/40$  متر، انتخاب و با شرایط معمولی بارگذاری و تحت بار ثقلی و وزله، با روش استاتیکی معادل، تحلیل و با اعمال ترکیبات بار مورد نظر آینه [۹] طراحی شد. یک اتصال میانی مطابق شکل (۱۰)، انتخاب و مدل سازی و بررسی شد. قاب مورد نظر مذکور، با قاب‌های خورجینی مورد تحقیق آفکوچک و همکاران [۱۰]، از نظر کلی؛ یعنی طول دهانه‌ها، ارتفاع طبقات و شرایط تکیه گاهی و در نتیجه مشخصات تیر و ستون در اتصال نمونه مورد نظر، نیز تقریباً با شرایط مرجع مذکور [۱۰] همواری داشت.

در نمونه M3، تیر 2IPE140 و ستون 2UNP140 به هم چسبیده بود که بعداً با تأکید بر فلسه تیر ضعیف-ستون قوی، مشخصات مقطع ستون، به صورت 2UNP140+2PL7 به شکل (۱۱) اصلاح شد و نام آن را نمونه M4 نهادیم. حسن اصلی این نمونه‌ها، پرهیز از ورق تقویت بر روی ستون است و در نتیجه اتصالات بدون واسطه و مستقیماً به ستون متصل می‌شوند.

ب- شکل‌های (۱۲) و (۱۲)، شبکه اجزای محدود نمونه‌های M3 و M4 را نشان می‌دهند. همان گونه که مشهود است اصول مدل سازی اجزای محدود، انواع عناصر محدود استفاده شده و نیز نرم افزار تحلیلگر، همان است که در مدل M1 بوده است.



شکل (۱۰): شکل شماتیک قاب خورجینی مورد نظر و محل قرارگیری اتصال انتخاب شده (نمونه‌های M2 و M1)

- اعمال بار جانبی برروی این نمونه، به صورت اعمال تغییر مکان‌های چرخه‌ای در پای ستون و با توصیه‌های مرتع [۱۱] به شرح زیر صورت گرفت:

سه چرخه تا تغییر مکان  $0.25 \Delta y < \Delta \leq 0.5 \Delta y$

سه چرخه تا تغییر مکان  $0.6 \Delta y < \Delta \leq 0.8 \Delta y$

سه چرخه تا تغییر مکان  $\Delta = 1 \Delta y$

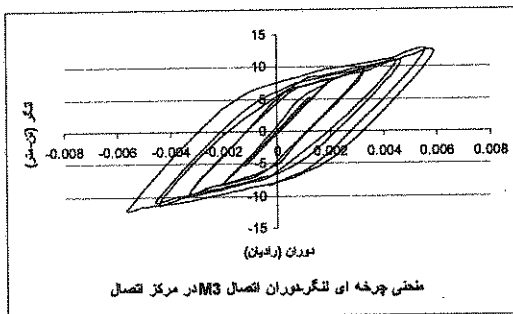
سه چرخه تا تغییر مکان  $\Delta = 2 \Delta y$

سه چرخه تا تغییر مکان  $\Delta = 3 \Delta y$

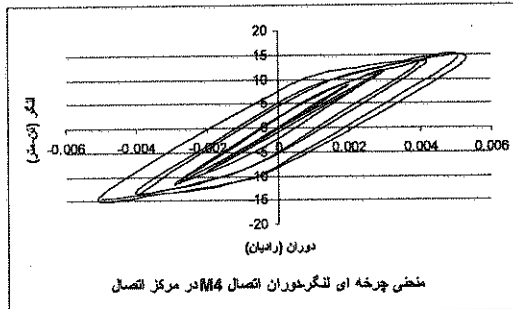
سه چرخه تا تغییر مکان  $\Delta = 4 \Delta y$

پس از تکمیل چرخه بارگذاری  $\Delta = 4 \Delta y$ ، چرخه‌های

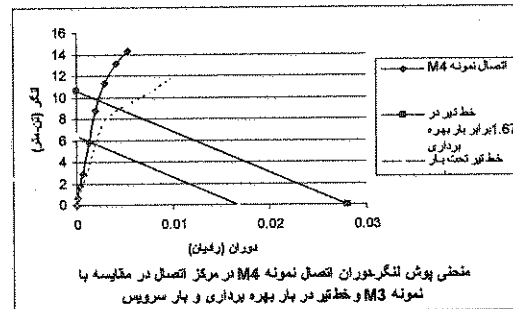
تغییر مکان های چرخه ای اعمالی به پای ستون را در این نمونه ها نشان می دهد.



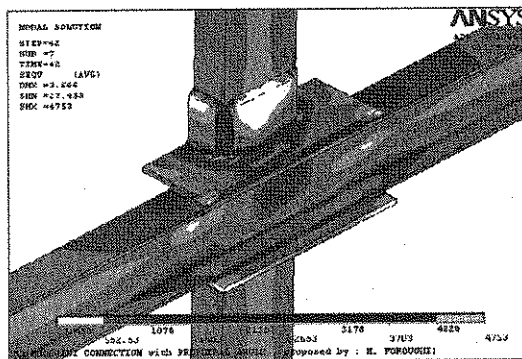
شکل (۱۵): منحنی چرخه ای لنگر-دوران اتصال نمونه M3



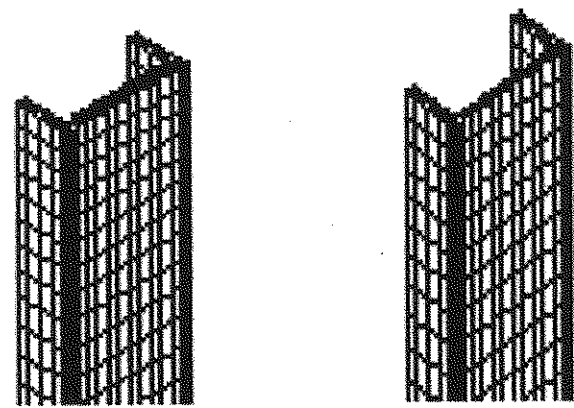
شکل (۱۶): منحنی چرخه ای لنگر-دوران اتصال نمونه M4



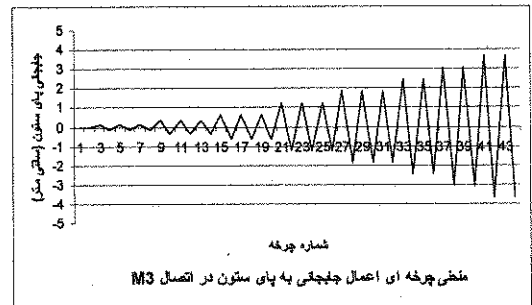
شکل (۱۷): منحنی پوش لنگر-دوران اتصال نمونه M4 در مقایسه با نمونه M3



شکل (۱۸): منحنی های هم شدت تنش و ان میسز در محدوده اتصال در نمونه M4



شکل (۱۹): نمای شبکه بندی اجزای محدود نمونه های M3 و M4 در انتهای ستون



شکل (۲۰): نمودار اعمال جابجایی چرخه ای به پای ستون در اتصال های M3 و M4

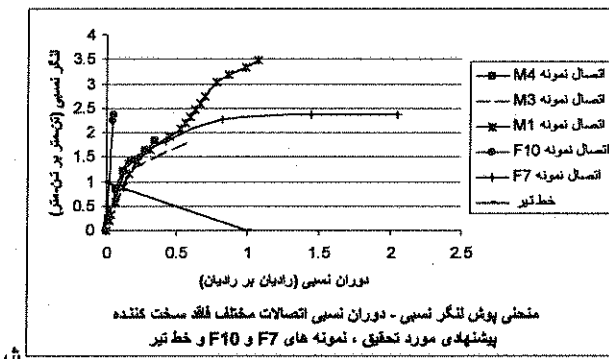
### ۳-۴- نتایج حاصله از تحلیل مدل های M4 و M3

شکل های (۱۵) و (۱۶) به ترتیب منحنی های چرخه ای لنگر-دوران نمونه های M3 و M4 را نشان می دهد. همچنان که مشهود است، این منحنی ها، دو کی شکل و کاملاً پایدار هستند و تا زمان انهدام اتصال، بدون کاهش سختی، از استهلاک انرژی بالایی برخوردار می باشند و اتصال در این نمونه ها، شکل پذیری مطلوبی دارد. شکل (۱۷)، منحنی های پوش لنگر-دوران این دو نمونه را در مقایسه با یکدیگر، به همراه خط تیر در حالات بار بارهای بارهای ۱/۶۷ بار بارهای بارهای بارهای نشان می دهد. می بینیم که هردو نمونه، با صلابت حدود ۹۰٪ در ردیف اتصالات صلب تلقی می شوند و تأثیر افزایش سختی ستون را در میزان صلابت اتصال می توانیم بخوبی بینیم. صلابت نمونه M4 ۹۲٪ است. شکل (۱۸) سطوح هم شدت تنش و ان میسز را در این نمونه، به تصویر می کشد. در این شکل نیز مشاهده می کنیم در زمانی که بالهای تیر به حد جاری شدن رسیده اند، اتصال هنوز پایداری خویش را حفظ کرده است. هرچند که همچون سایر اتصالات در مواضع محدودی از جوش ها (در کنج نبیشی ها) تمکن تنش هایی وجود دارد.

مختصات نرمالیزه شده، به شرح مذکور در بخش (۱-۴) در مقایسه با هم ترسیم شده‌اند. آنچنان که مشهود است، نمونه F10 [۷] که همان اتصال خورجینی صلب نوع دوم آیین نامه است، با صلبیت نسبی حدود ۹۸٪ به نحو بارزی از بقیه صلبت‌تر و سخت‌تر است. رفتار این نمونه تا آخر، تقریباً خطی مانده و فقط در انتهای، با کندی به ناحیه غیر خطی وارد شده است. بعد از این اتصال، اتصال خورجینی صلب با نبشی پیرامونی، نمونه M4 [۴] با صلбیت ۹۲/۳٪ از صلبیت و سختی اولیه بیشتری برخوردار است که بعد از آن، نمونه‌های نبشی پیرامونی M1 و M3 [۴] و نیز F7 [۷] که همان اتصال خورجینی صلب نوع اول آیین نامه [۲] است، با صلبیت نسبی حدود ۹۰٪ قرار می‌گیرند که منحنی‌های لنگر نسبی - دوران نسبی این سه نمونه، در محدوده رفتار خطی، تقریباً به طور کامل بر هم منطبق هستند و در محدوده رفتار غیر خطی نیز رفتار نمونه M3 به F7 خیلی نزدیک است.

لنگر نسبی نهایی نمونه‌های M3 و M4، حدود ۱/۸ تن - متر بر تن - متر است که به طور قابل ملاحظه‌ای از نمونه‌های F7 و F10؛ یعنی  $2/3$  تن - متر بر تن - متر، کمتر است و نمونه M1، با قابلیت تحمل لنگر نسبی حدود  $2/4$  تن - متر بر تن - متر، به طور قابل توجهی قابلیت بیشتری را در تحمل لنگر نسبی، نسبت به سایر نمونه‌ها، از جمله F7 و F10، از خود بروز داده است.

آنچه مسلم است تمامی این نمونه‌ها در ردیف اتصالات صلب قرار می‌گیرند.



شکل(۱۹): منحنی‌های پوش لنگر نسبی - دوران نسبی اتصالات مختلف نمونه های مختلف در دستگاه محورهای مختصات نرمالیزه

#### ۴-۳- مقایسه نمونه‌های مختلف، از دیدگاه مسائل اجرایی و هزینیه ها

الف - اتصالات خورجینی صلب با نبشی پیرامونی [۴] به دلیل اینکه قادر ورقهای سخت کننده به اصطلاح لچکی می‌باشد، با معماری بنا همخوانی بیشتری داردند. از این دیدگاه اتصال خورجینی نوع اول آیین نامه [۲] در دوم و اتصال

#### ۴- مقایسه اتصال خورجینی صلب با نبشی پیرامونی و اتصالات خورجینی صلب نوع اول و دوم آیین نامه

از آنجا که مخصوصات تیر و ستون در میزان لنگر قابل تحمل اتصال، کاملاً تاثیرگذار است و منحنی‌های لنگر - دوران نمونه‌های مختلف به صورت عادی، قابل مقایسه با یکدیگر نیستند، تدبیری اندیشه شد که با بی بعد کردن (نرمالیزه کردن) محورهای لنگر و دوران، بتوان به مقایسه این منحنی‌ها با یکدیگر پرداخت.

#### ۴-۱- طریقه بی بعد کردن محورها

برای تمامی مقاطع تیرها، لنگر گیرداری را تحت بار بهره برداری و با فرض تمام قدرت ( $M_F = \sigma^* S$ ) محاسبه می‌کنیم و حاصل تقسیم لنگر اتصال در هر لحظه بر لنگر گیرداری با شرایط فوق را لنگر نسبی ( $M^r$ ) می‌نامیم. همچنین برای کلیه مقاطع تیرها، دوران د راتصال کاملاً مفصلی را تحت بار بهره برداری و با فرض اتصال تمام قدرت، محاسبه می‌کنیم و حاصل تقسیم چرخش اتصال در هر لحظه بر این چرخش را، دوران نسبی ( $\theta^r$ ) می‌نامیم.

بدین ترتیب، توانسته‌ایم محورهای لنگر و دوران را نرمالیزه کرده و به صورت بدون بعد در آوریم. پر واضح است که رسم منحنی لنگر - دوران هر نمونه، در این دستگاه مختصات، بخوبی روای معمول قابل تفسیر است. علاوه بر این، به نظر می‌رسد با حذف خصوصیات هندسی و مصالح تیر (که مبنای طراحی اتصال، نیز متناسب با آن است)، شرایط مقایسه نسبتاً منصفانه‌ای را برای اتصالات مختلف با یکدیگر فراهم آورده‌ایم. هر چند که هنوز مشخصات ستون، می‌تواند تأثیر خویش را در این منحنی‌های نرمالیزه شده بگذارد؛ ولی اگر این فرض اساسی را بپذیریم که در یک سازه درست طراحی شده، مقاطع ستون‌ها، نیز به نوعی متناسب با مقاطع تیرها هستند، مقایسه ستون‌های مختلف، در این دستگاه محورهای مختصات، به نظر می‌رسد می‌نماید. علاوه بر این، در این دستگاه، مفهوم جدیدی قابل تعریف است که آن را سختی بدون بعد می‌نامیم و آن عبارت است از شبیه منحنی لنگر نسبی - دوران نسبی. به نظر می‌رسد که بتوان از مفهوم سختی بدون بعد، نیز به عنوان ملکی برای میزان صلبیت اتصال بهره جست.

#### ۴-۲- مقایسه رفتار نمونه های مختلف

در شکل (۱۹)، منحنی‌های پوش لنگرنسی - دوران نسبی نمونه‌های مطرح شده در این مقاله، در دستگاه محورهای

لزوم، روابط جایگزین، برای طراحی این گونه اتصالات، انجام گیرد و در نهایت روابطی مطمئن برای طراحی آنها ارائه شود.

#### ۶- تقدیر و تشكیر

نویسنده‌گان از جانب آقایان دکتر احمد نیکنام، دکتر علی اکبر آقا کوچک و دکتر علی مژروعی به خاطر کمک‌های بی‌شایشه‌شان در پیشبرد این طرح پژوهشی، کمال تشکر را دارند.

#### ۷- مراجع

[۱] فروغی، محمد؛ «بررسی اتصالات خورجینی و چگونگی مدل کردن کامپیوتری آن‌ها»؛ سمینار کارشناسی ارشد سازه، به راهنمایی دکتر مرتضی زاهدی، دانشگاه علم و صنعت ایران، تهران، آذرماه ۱۳۸۱.

[۲] فروغی، محمد؛ «بررسی اتصالات خورجینی و ارائه روشی برای حل آن‌ها»؛ پایان‌نامه کارشناسی ارشد سازه، به راهنمایی دکتر مرتضی زاهدی و دکتر محمدعلی برخورداری، دانشگاه علم و صنعت ایران، تهران، تیرماه ۱۳۷۲.

[۳] مقدم، حسن؛ آقاکوچک، علی‌اکبر؛ مژروعی، علی؛ میرقاداری، سیدرسول، «پیش‌نویس ضوابط طراحی و اجرای ساختمان با اتصال خورجینی»؛ مرکز تحقیقات ساختمان و مسکن، تهران، اسفند ۱۳۸۲.

[۴] فروغی، محمد؛ «بررسی اتصالات خورجینی با استفاده از آنالیز غیرخطی»؛ پایان‌نامه دکترای سازه، به راهنمایی دکتر محمدعلی برخورداری و مشاوره دکتر احمد نیکنام، دانشگاه علم و صنعت ایران، تهران، اسفند ۱۳۸۵.

[۵] فروغی، محمد؛ برخورداری، محمدعلی؛ «نقدی بر پیش‌نویس ضوابط طراحی و اجرای ساختمان‌های با اتصال خرجینی»، هفتمین کنگره بین‌المللی مهندسی عمران، دانشگاه تربیت مدرس، تهران، ۱۸-۲۰ اردیبهشت ماه ۱۳۸۵.

[۶] فروغی، محمد؛ «طرح تسمیه‌های اتصال تیر دوبل در اتصالات خورجینی»، مجله علمی- ترویجی بنا، انجمن مهندسان راه و ساختمان ایران، شماره‌های ۱۴ و ۱۵، ۱۳۸۱.

[۷] مژروعی، علی؛ میرقاداری، سیدرسول؛ بهنامفر، فرهاد؛ دهقانی‌رنانی، مهدی؛ «بررسی ضوابط طراحی و مشخصات فنی اتصال خورجینی و ارائه دستورالعمل»، مرکز تحقیقات ساختمان و مسکن، تهران.

M.A. Barkhordari and M. Foroughi, "An Improved Saddle-Like Connection for Steel Structures", in Proceedings of the Eighth International Conference on Computational Structures Technology, B.H.V.

خورجینی صلب نوع دوم [۳]، با دارا بودن ابعاد قابل توجه این ورق‌ها و وجود سخت کننده‌های زییرین، در رده آخر قرار می‌گیرد و بیشترین مشکل را با معماری بنا دارد.

[۸] ب- اجرای اتصال خورجینی صلب با نبیشی پیرامونی، به طور بارزی سهل‌تر از اتصالات خورجینی صلب نوع اول و خصوصاً نوع آیین نامه [۲] است و مطالعات [۴] نشان می‌دهد که طول برش (۶/۲۸ متر) و جوش (۹/۲۶ متر) در این اتصال (M1)، به مراتب کمتر از آن دو، خصوصاً نوع دوم (با طول برش ۱۱/۵ متر و طول جوش ۱۵/۴۷ متر) است؛ و به طور مشخص از نظر اقتصادی، این اتصال (نبیشی پیرامونی)، از آن دو گزینه خصوصاً نوع دوم با صرفه‌تر است.

این در حالی است که هرگاه از نبیشی‌های فارسی بر شده در ساخت نبیشی‌های پیرامونی استفاده کنیم، علاوه بر افزایش سهولت اجرا، طول برش در نمونه M1 به ۲/۸ متر و طول جوش، به ۸/۸ متر کاهش می‌یابد.

#### ۵- نتیجه گیری و ارائه پیشنهاد

الف- اتصال خورجینی صلب از نوع نبیشی پیرامونی، در رده اتصالات صلب تشخیص داده می‌شود.

ب- از نظر خصوصیات رفتاری، خصوصاً قابلیت جذب انرژی و بروز رفتار شکل پذیر و نیز قابلیت تحمل لنگر نهایی و نیز سختی اولیه، این اتصال، اتصالی مطلوب می‌نماید.

ج- از نظر سهولت‌های اجرایی و سازگاری با معماری طرح، این اتصال بر انواع خورجینی صلب مورد نظر آیین نامه [۴]، برتری دارد.

د- پیشنهاد می‌شود این نوع اتصال، برای اضافه شدن به گزینه‌های خورجینی صلب آیین نامه [۴]، برای بررسی در دستور کار آیین نامه نویس قرار گیرد.

ه- به نظر می‌رسد برای مقایسه بهتر نمونه‌های مختلف، بهتر است مدل‌هایی فاقد ستون، که فقط اتصال و تیر در آنها موجود باشد، تحت آزمایش و تحلیل اجزای محدود قرار گیرد و منحنی‌های لنگر - دوران آن‌ها، در سیستم محورهای مختصات بدون بعد پیشنهادی در این پژوهش [۴] مقایسه و بررسی شود.

و- پیشنهاد می‌شود تحقیقات آزمایشگاهی کافی بر روی اتصالات خورجینی صلب با نبیشی پیرامونی انجام و نتایج با تحلیل‌های اجزای محدود، مقایسه و بررسی شود. در ادامه، تأثیر شماره نبیشی‌ها بر روی رفتار این نوع اتصالات بررسی گردد.

ز- در این پژوهش [۴]، روابط ساده‌ای برای طراحی اتصالات خورجینی صلب با نبیشی پیرامونی ارائه شده است. پیشنهاد می‌شود کارهایی تحقیقاتی بر روی این روابط و در صورت

Topping, G. Montero and R. Montenegro, (Editors),  
Civil-Comp Press, Stirlingshire, United Kingdom,  
paper 115, 2006.

[۹] مبحث ششم مقررات ملی ساختمان، بارهای وارد بر  
ساختمان، دفتر تدوین و ترویج مقررات ملی ساختمان،  
۱۳۸۰.

[۱۰] آقاکوچک، علی‌اکبر؛ وشکینی، پیمان؛ «مطالعه شکل  
پذیری قاب‌های فولادی دارای اتصالات خورجینی»، مجله  
فنی و مهندسی مدرس، شماره چهاردهم، زمستان ۱۳۸۲.

[۱۱] AISC, "Qualifying Cyclic Tests of Beam – to –  
Column and Link – to Column Connections",  
Seismic Provisions for Steel Building, Appendix S,  
pp. 252.